

Поступила в редакцию
19 июля 2011 г.

НОВЫЕ МИНЕРАЛЫ, КЛАССИФИКАЦИЯ И НОМЕНКЛАТУРА МИНЕРАЛОВ

УДК 549.65 (430.123)

© Д. чл. Н. В. ЧУКАНОВ,* Н. В. ЗУБКОВА,** д. чл. И. В. ПЕКОВ, ** д. чл. Д. И. БЕЛАКОВСКИЙ, ***
В. ШЮЛЛЕР,**** Б. ТЕРНЕС,***** Г. БЛАСС,***** д. чл. Д. Ю. ПУЩАРОВСКИЙ***

ХИЛЛЕСХАЙМИТ $(\text{K},\text{Ca},\square)_2(\text{Mg},\text{Fe},\text{Ca},\square)_2[(\text{Si},\text{Al})_{13}\text{O}_{23}(\text{OH})_6](\text{OH}) \cdot 8\text{H}_2\text{O}$ — НОВЫЙ СЛОИСТЫЙ СИЛИКАТ ГРУППЫ ГҮНТЕРБЛАССИТА¹

* ФГБУ науки Институт проблем химической физики РАН, 142432, Московская обл., г. Черноголовка;
e-mail: chukanov@icp.ac.ru

** Московский университет, геологический факультет, 119991, Москва, Воробьевы горы

*** Минералогический музей им. А. Е. Ферсмана РАН, 119071, Москва, Ленинский пр., 18-2

**** Im Straussenpesch 22, 53518, Adenau, Germany

***** Bahnhofstrasse 45, 56727 Mayen, Germany

***** Merzbachstrasse 6, D-52249, Eschweiler, Germany

Новый минерал хиллесхаймит найден в базальтовом карьере Грауляй близ города Хиллесхайм (горы Айфель, Рейнланд-Пфальц, Германия) в составе поздней ассоциации, включающей в себя нефелин, авгит, фторапатит, магнетит, перовскит, гетценит и бариевые минералы группы лампрофиллита. Эмпирическая формула: $\text{K}_{0.96}\text{Na}_{0.08}\text{Ba}_{0.16}\text{Ca}_{0.56}\text{Mg}_{0.58}\text{Fe}_{0.37}^{2+}[\text{Si}_{9.62}\text{Al}_{3.32}\text{O}_{23}(\text{OH})_6] \cdot [(\text{OH})_{0.82}(\text{H}_2\text{O})_{18}] \cdot 8\text{H}_2\text{O}$. Минерал ромбический, $Pmmn$: $a = 6.979(11)$, $b = 37.1815(18)$, $c = 6.5296(15)$ Å; $V = 1694(3)$ Å³, $Z = 2$. Назван по месту его находки. Эталонный образец хранится в Минералогическом музее им. А. Е. Ферсмана РАН (Москва), рег. номер 4174/1.

Ключевые слова: хиллесхаймит, группа гюнтерблассита, новый минерал, филлосиликаты, кристаллическая структура, Грауляй, Айфель, щелочной базальт.

N. V. CHUKANOV, N. V. ZUBKOVA, I. P. PEKOV, D. I. BELAKOVSKIY, W. SCHÜLLER, B. TERNES,
G. BLASS, D. Yu. PUSHCHAROVSKY. HILLESHEIMITE, $(\text{K},\text{Ca},\square)_2(\text{Mg},\text{Fe},\text{Ca},\square)_2[(\text{Si},\text{Al})_{13}\text{O}_{23}(\text{OH})_6]$ ·
 $(\text{OH}) \cdot 8\text{H}_2\text{O}$, A NEW PHYLLOSILICATE MINERAL OF THE GÜNTERBLASSITE GROUP

A new mineral hillesheimite has been found in the basalt quarry Graulai, near the town Hillesheim, in Eifel Mountains, Rheinland-Pfalz, Germany. It occurs in the late association including nepheline, augite, fluorapatite, magnetite, perovskite, priderite, gützenite, lamprophyllite-group minerals, and akermanite. Flattened colorless crystals of hillesheimite are up to $0.2 \times 1 \times 1.5$ mm in size and their aggregates occur in miarolitic cavities in alkaline basalt. The mineral is brittle, with Mohs' hardness 4. Cleavage is perfect on (010) and distinct on (100) and (001). $D_{\text{calc}} = 2.174 \text{ g/cm}^3$, $D_{\text{meas}} = 2.16(1) \text{ g/cm}^3$. IR spectrum is given. Hillesheimite is biaxial (−), $\alpha = 1.496(2)$, $\beta = 1.498(2)$, $\gamma = 1.499(2)$, $2V_{\text{meas}} = 80^\circ$. Chemical composition (electron microprobe, mean of 4 point analyses, H_2O determined from structural data, wt %) is: $\text{Na}_2\text{O} 0.24$, $\text{K}_2\text{O} 4.15$, $\text{MgO} 2.14$, $\text{CaO} 2.90$, $\text{BaO} 2.20$, $\text{FeO} 2.41$, $\text{Al}_2\text{O}_3 15.54$, $\text{SiO}_2 52.94$, $\text{H}_2\text{O} 19.14$, total sum 101.65. The empirical formula is: $\text{K}_{0.96}\text{Na}_{0.08}\text{Ba}_{0.16}\text{Ca}_{0.56}\text{Mg}_{0.58}\text{Fe}_{0.37}^{2+}[\text{Si}_{9.62}\text{Al}_{3.32}\text{O}_{23}(\text{OH})_6] \cdot [(\text{OH})_{0.82}(\text{H}_2\text{O})_{18}] \cdot 8\text{H}_2\text{O}$. The crystal structure was studied on single crystal, $R = 0.1735$. Hillesheimite is orthorhombic, space group $Pmmn$, unit cell parameters: $a = 6.979(11)$, $b = 37.1815(18)$, $c = 6.5296(15)$ Å; $V = 1694(3)$ Å³, $Z = 2$. The basis of the crystal structure is the block $[(\text{Si},\text{Al})_{13}\text{O}_{23}(\text{OH},\text{O})_4]$ consisting of three single tetrahedral layers connected via common vertices, which is topologically identical to triple layers in günterblassite and umbrianite. Strong lines of the X-ray powder diffraction pattern [d , Å (I, %)] are: 6.857(58), 6.545(100), 6.284(53), 4.787(96), 4.499(59), 3.065(86), 2.958(62), 2.767(62). The mineral was named after the locality of its discovery. Type speci-

¹ Новый минерал хиллесхаймит и его название утверждены Комиссией по новым минералам, номенклатуре и классификации минералов Международной минералогической ассоциации 1 ноября 2011 г., IMA No. 2011-080.

mens are deposited in the Fersman Mineralogical Museum of the Russian Academy of Sciences, Moscow, with registration number 4174/1.

Key words: hillesheimite, günterblassite group, new mineral, phyllosilicate, crystal structure, Graulai, Eifel, alkaline basalt.

ВВЕДЕНИЕ

Недавно открытый минерал гюнтерблассит $(\text{K}, \text{Ca}, \text{Ba}, \text{Na}, \square)_3 \text{Fe}[(\text{Si}, \text{Al})_{13}\text{O}_{25} \cdot (\text{OH}, \text{O})_4] \cdot 7\text{H}_2\text{O}$ (Чуканов и др., 2012), который был обнаружен в составе поздней ассоциации, связанной с щелочными базальтами горы Ротер Конф в вулканическом районе Айфель (Германия), явился родоначальником весьма необычной группы филлосиликатов, в основе кристаллических структур которых лежит трехслойный тетраэдрический пакет состава $[(\text{Si}, \text{Al})_{13}(\text{O}, \text{OH})_{29}]$ (Расцветаева и др., 2012). В составляющих этот пакет кремнекислородных слоях $[\text{Si}_4\text{O}_{10}]$ (где $\text{O} = \text{O}, \text{OH}$) можно выделить 8- и 4-членные тетраэдрические кольца. Такое же (или аналогичное, но с другой ориентировкой тетраэдров по отношению к плоскости слоя) чередование 8- и 4-членных колец имеет место в ряде родственных однослойных (маунтинит, шлыковит, криптофиллит) и двухслойных [родезит, макдональдит, сейдит-(Ce), монтереджианинит-(Y), дельхайелит, фивегит, гидродельхайелит] филлосиликатов. Перечисленные минералы с одинарными кремнекислородными слоями составляют семейство маунтинита (Zubkova et al., 2010), двухслойные — меро-плезиотипную серию родезита (Ferraris, Gula, 2005; Cadoni, Ferraris, 2009; Pekov et al., 2011), трехслойные мы предла-

галяем объединить в группу гюнтерблассита, где термина «группа» обусловлен блока у входящих в нее минералов.

Описываемый в настоящей работе хиллесхаймит получил название в честь минации.

Эталонный образец нового минерала A. E. Ферсмана РАН (Москва)

УСЛОВИЯ НАХОЖДЕНИЯ

Образцы с хиллесхаймитом (Graulay; другие варианты написания — Гюнтерблассит, хиллесхаймит, земля Рейна) впервые описаны в составе поздней ассоциации, включая маунтинит, акерманит, перовскит, гетит, эпидот, образованные кристаллы и полости в щелочном базальте.

Хиллесхаймит является одновременно нералом этой ассоциации. Склоны с хиллесхаймитом минералами.

Хиллесхаймит образует узкие зоны (рис. 1) и их субпараллельные скопления. Кристаллы имеют вид прямостоящих, тянутых (от почти квадратных до ромбических) двойников: {010} (главная габитусная

Таблица 1

Сравнительные данные для минералов группы гюнтерблассита
Comparative data for günterblassite-group minerals

Свойство	Хиллесхаймит	Гюнтерблассит	Умбринит
Формула	$(\text{K}, \text{Ca}, \square)_2(\text{Mg}, \text{Fe}, \text{Ca}, \square)_2 \cdot [(\text{Si}, \text{Al})_{13}\text{O}_{25}(\text{OH})_6](\text{OH}) \cdot 8\text{H}_2\text{O}$	$(\text{K}, \text{Ca}, \text{Ba}, \square)_3\text{Fe}[(\text{Si}, \text{Al})_{13}\text{O}_{25}(\text{OH}, \text{O})_4] \cdot 7\text{H}_2\text{O}$	$\text{K}_7\text{Na}_2\text{Ca}_2[\text{Si}_{10}\text{Al}_3\text{O}_{29}]_2\text{F}_2\text{Cl}_2$
Сингония	Ромбическая	Ромбическая	Ромбическая
Пр. гр.	$Pm\bar{3}m$	$Pm\bar{2}1n$	$Pm\bar{3}m$
Параметры ячееки			
$a, \text{\AA}$	6.979	6.970	7.062
$b, \text{\AA}$	37.1815	37.216	38.420
$c, \text{\AA}$	6.5296	6.528	6.574
$V, \text{\AA}^3$	1694	1693	1783.5
Z	2	2	2
Сильные линии по- рошокграммам:	6.857—58 6.545—100 $d, \text{\AA} - I$ 6.284—53 4.787—96 4.499—59 3.065—86 2.958—62 2.767—62	6.523—100 6.263—67 3.062—91 2.996—66 2.955—63 2.853—51 2.763—60	9.65—100 6.91—43 6.59—97 3.296—77 3.118—70 2.903—52 2.819—53
$D, \text{г}/\text{см}^3$	2.16 (изм.), 2.174 (выч.)	2.18 (изм.), 2.18 (выч.)	2.49 (выч.)
Оптические ха- рактеристики			
n_p	1.496	1.488	1.537
n_m	1.498	1.490	1.543
n_g	1.499	1.493	1.544
Оптический знак, $2V$	$(-)$ 80°	$(+)$ 80°	$(-)$ 30°
Источник	Настоящая работа	Чуканов и др., 2012	Sharygin et al., в печати

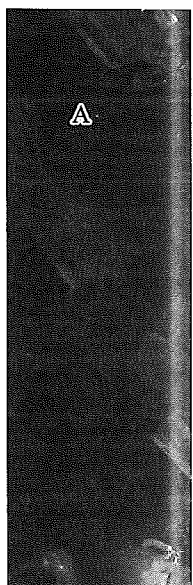


Рис. 1. Кристаллы хиллесхаймита из района Ширнера.

Fig. 1. Crystals of hillesheimite (H) from the Shirner area.

$K_xCa_yBa_zNa_{1-x-y-z}Fe[(Si,Al)_{13}O_{25}]$ обнаружен в составе поздней ассоциации вулканического района Копф в Германии. Минерал необычной группы филосиликатов лежит трехслойный тетрагональный тетраэдр (Расцветаева и др., 2012). Структура $[Si_4O_{10}]$ (где $O = O, OH$) можно представить же (или аналогичное, но с некоторыми изменениями в структуре слоя) чередование 8- и 12-слойных (маунтинит, шлыко-пильдит, сейдит-(Ce), монтередианит) филосиликатов. Перечисленные минералы составляют семейство малезиотипную серию родезита (011), трехслойные мы предла-

Таблица 1

Характеристики гюнтерблассита
и его минералогические аналоги

Характеристика	Умбринит
$Si_{10}Al_{13}O_{29}$	$K_7Na_2Ca_2[Si_{10}Al_3O_{29}]F_2Cl_2$
Система симметрии	Ромбическая $P\bar{m}\bar{m}$
Кристаллическая структура	7.062
Молекулярная масса	38.420
Плотность	6.574
Температура плавления	1783.5
Температура кипения	2
Минералогический диапазон	9.65—100
Минералогический диапазон	6.91—43
Минералогический диапазон	6.59—97
Минералогический диапазон	3.296—77
Минералогический диапазон	3.118—70
Минералогический диапазон	2.903—52
Минералогический диапазон	2.819—53
Минералогический диапазон	2.49 (выч.)
Минералогический диапазон	1.537
Минералогический диапазон	1.543
Минералогический диапазон	1.544
Минералогический диапазон	(—) 30°
Авторы	Sharygin et al., в печати

гают объединить в группу гюнтерблассита (табл. 1). Корректность использования здесь термина «группа» обусловлена идентичностью строения алюмосиликатного блока у входящих в нее минералов.

Описываемый в настоящей статье новый представитель группы гюнтерблассита хиллесхаймит получил название по месту его находки близ города Хиллесхайм в Германии.

Эталонный образец нового минерала хранится в Минералогическом музее им. А. Е. Ферсмана РАН (Москва), регистрационный номер 4174/1.

УСЛОВИЯ НАХОЖДЕНИЯ, МОРФОЛОГИЯ И ФИЗИЧЕСКИЕ СВОЙСТВА

Образцы с хиллесхаймитом собраны в действующем базальтовом карьере Граулий (Graulay; другие варианты написания — Graulai, Grauley, Graulei) близ города Хиллесхайм (Hillesheim), земля Рейнланд-Пфальц, Германия. Новый минерал обнаружен в составе поздней ассоциации, включающей в себя нефелин, авгит, фторапатит, магнетит, акерманит, перовскит, гетценит, бариевые члены группы лампрофиллита. Хорошо образованные кристаллы всех этих минералов нарастают на стенки миароловых полостей в щелочном базальте.

Хиллесхаймит является одним из наиболее поздних и единственным водным минералом этой ассоциации. Скорее всего, кристаллизация большинства ассоциирующих с хиллесхаймитом минералов происходила на пневматолитовой стадии.

Хиллесхаймит образует уплощенные кристаллы размерами до $0.2 \times 1 \times 1.5$ мм (рис. 1) и их субпараллельные или веерообразные сростки до 2 мм в поперечнике. Кристаллы имеют вид прямоугольных пластинок или табличек, в разной степени вытянутых (от почти квадратных до досковидных), и образованы гранями трех пинакоидов: {010} (главная габитусная форма), {001}, {100} (боковые грани).

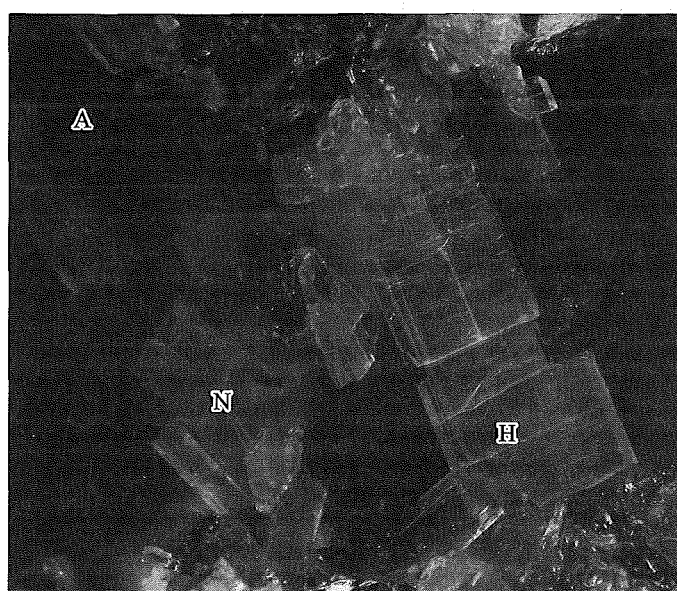


Рис. 1. Кристаллы хиллесхаймита (Н) с авгитом (А) и нефелином (Н). Ширина поля 2 мм. Фотография Ф. Круйена.

Fig. 1. Crystals of hillesheimite (H) with augite (A) and nepheline (N). Field of view 2 mm. Photograph: F. Kruijen.

Компонент	Содержание, %
Na ₂ O	—
K ₂ O	—
MgO	—
CaO	—
BaO	—
FeO	—
Al ₂ O ₃	—
SiO ₂	—
H ₂ O*	—
Сумма	100

Примечание. Содержание слоевых молекул H₂O, координированных P, S, Cl, Ti, Cr, Mn и Sr ниже методом.

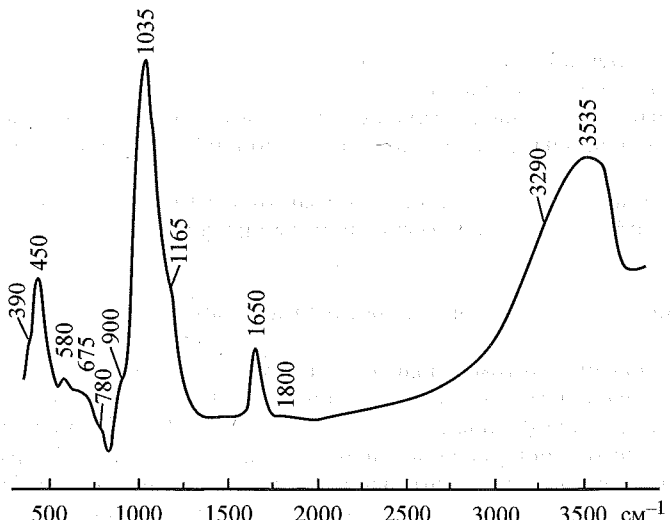


Рис. 2. ИК-спектр хиллесхаймита.

Fig. 2 IR spectrum of hillesheimite.

Цвет хиллесхаймита варьирует от желтого до коричневатого, его кристаллы прозрачные до просвечивающих. Чешуя белая. Минерал хрупкий, его твердость по шкале Мооса составляет 4, спайность весьма совершенная по (010) и менее совершенная по (100) и (001). Вычисленная плотность равна 2.174 г/см³, измеренная методом уравновешивания в тяжелых жидкостях — 2.16(2) г/см³. Люминесценции в ультрафиолетовых и катодных лучах не наблюдается.

ИК-спектр хиллесхаймита (рис. 2), полученный с помощью фурье-спектрометра ALPHA FTIR фирмы Bruker Optics при разрешающей способности 4 см⁻¹, близок к спектру гюнтерблассита (Чуканов и др., 2012) и, как и последний, характеризуется плохой разрешенностью полос, что отражает разупорядоченность катионов в структурах обоих минералов. Положения (см⁻¹) и отнесения полос ИК-спектра следующие (s — сильная полоса, sh — плечо): 3535, 3290sh (O—H-валентные колебания), 1800 (деформационные колебания ионов H₃O⁺), 1650 (деформационные колебания молекул H₂O), 1165sh, 1035s, 900sh (Si—O-валентные колебания), 780sh, 675sh, 580 (деформационные колебания O—Si—O), 450s, 390sh (комбинация деформационных колебаний Si—O—Si и валентных колебаний полизэдротов MO₆, где M = Mg, Fe, Ca). Полосы В- и С-содержащих групп (диапазон 1200—1500 см⁻¹) в ИК-спектре хиллесхаймита отсутствуют.

По сравнению с гюнтербласситом хиллесхаймит характеризуется более высоким значением волнового числа в максимуме полосы M—O-валентных колебаний (соответственно 442 и 450 см⁻¹), что может быть связано с различными координационными числами M-катаиона в этих минералах (соответственно 7 и 6), а также с доминированием в M-позиции хиллесхаймита более легкого катиона (Mg), чем в аналогичной Fe-доминантной позиции гюнтерблассита (табл. 1).

Новый минерал оптически двусочный отрицательный, $n_p = 1.496(2)$, $n_m = 1.498(2)$, $n_g = 1.499(2)$; $2V_{изм} = 80(5)^\circ$, $2V_{вып} = 70^\circ$. Дисперсия оптических осей не наблюдается. Оптическая ориентировка: $Y = b$; оси оптической индикаторицы перпендикулярны плоскостям спайности. Хиллесхаймит отличается от гюнтерблассита оптическим знаком и более высокими показателями преломления (табл. 1).

Химический состав хиллесхаймита определен методом сканирующего рентгеновского анализа на сканирующем рентгеновском энергодисперсионном спектрометре при ускоряющем напряжении 15 кВ и токе 10 нА. Угол измерения между образцом и детектором 45°.

Вода не определялась ввиду малой концентрации H₂O, вычисленное по данным метода 19.14 мас. %.

Результаты определения никеля и марганца в хиллесхаймите, рассчитанные по методом сканирующего рентгеновского анализа (формула хиллесхаймита, рассчитанная по данным): K_{0.96} Na_{0.08} Ba_{0.16}(Mg, Fe, Ca)₂Al₂Si₂O₁₀·8H₂O. В упрощенном виде формула минерала: (K, Ca, □)₂(Mg, Fe, Ca, □)₂[(Si, Al)₂O₁₀]₂·8H₂O.

Сходимость физических свойств хиллесхаймита с гюнтербласситом на-Дейла хорошая: (1-K_p/K_c) = 0.005.

РЕНТГЕНОГРАФИЧЕСКИЕ СВОЙСТВА

Рентгенограмма порошка хиллесхаймита получена с помощью монокристаллического дифрактометра сигнала (image plate detector) при 45 кВ и токе 30 мА. Съемка проводилась на расстояние образец—детектор 100 мм.

Порошковая рентгенограмма хиллесхаймита получена с помощью монокристаллического дифрактометра XcaliburS CCD с использованием монокристаллического детектора независимо на основе пр

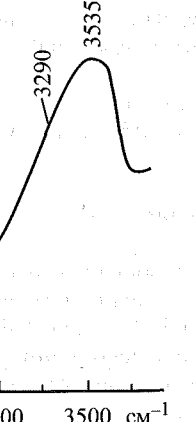
Таблица 2

Химический состав хиллесхаймита (средний, по 4 локальным анализам)

Chemical composition of hillesheimite (mean over 4 point analyses)

Компонент	Содержание, мас. %	Пределы содержаний	Эталон
Na ₂ O	0.24	0—0.43	Альбит
K ₂ O	4.15	3.47—4.95	Микроклин
MgO	2.14	1.47—3.04	Диопсид
CaO	2.90	2.32—3.99	Волластонит
BaO	2.20	0.85—3.75	BaF ₂
FeO	2.41	2.01—2.59	Fe ₂ O ₃
Al ₂ O ₃	15.53	14.97—16.11	Al ₂ O ₃
SiO ₂	52.94	52.31—54.16	SiO ₂
H ₂ O*	19.14		
Сумма	101.65		

Примечание. Содержание H₂O вычислено с учетом структурных данных (8 межслоевых молекул H₂O, координирующих K-позицию, на формулу при Z = 2). Содержания F, P, S, Cl, Ti, Cr, Mn и Sr ниже величин порога обнаружения этих элементов микрозондовым методом.



неватого, его кристаллы пропки, его твердость по шкале 010) и менее совершенная по измеренная методом уравненноценции в ультрафиолето-

с помощью фурье-спектрометра способности 4 см⁻¹, близок к последний, характеризуется точность катионов в структуруолос ИК-спектра следующие валентные колебания), 1800 ационные колебания молекул, 780sh, 675sh, 580 (деформационных колебаний M = Mg, Fe, Ca). Полосы В- и спектре хиллесхаймита отсут-

актеризуется более высоким валентных колебаний (соответственными координационными 6), а также с доминированием Ig), чем в аналогичной Fe-до- i, n_p = 1.496(2), n_m = 1.498(2), ческих осей не наблюдается. икатрисы перпендикулярны терблассита оптическим зна- . 1).

ХИМИЧЕСКИЙ СОСТАВ

Химический состав хиллесхаймита изучен методом локального рентгеноспектрального анализа на сканирующем электронном микроскопе Tescan Vega II XMU с рентгеновским энергодисперсионным спектрометром INCAx-sight. Анализ выполнен при ускоряющем напряжении на вольфрамовом катоде 15.7 кВ и токе поглощенных электронов на Co 0.5 нА. Угол отбора рентгеновского излучения составлял 35°, расстояние между образцом и детектором — 25 мм.

Вода не определялась ввиду недостаточного количества материала. Содержание H₂O, вычисленное по данным рентгеноструктурного анализа (см. ниже), составляет 19.14 мас. %.

Результаты определения химического состава приведены в табл. 2. Эмпирическая формула хиллесхаймита, рассчитанная на (Si,Al)₁₃(O,OH)₂₉ (согласно структурным данным): K_{0.96} Na_{0.08} Ba_{0.16} Ca_{0.56} Mg_{0.58} Fe₂₊²⁺ [Si_{9.62}Al_{3.32}O₂₃(OH)₆][(OH)_{0.82}(H₂O)_{0.18}] · 8H₂O. В упрощенном виде формула может быть записана следующим образом: (K,Ca,□)₂(Mg,Fe,Ca,□)₂[(Si,Al)₁₃O₂₃(OH)₆](OH) · 8H₂O.

Сходимость физических свойств и химического состава по критерию Гладстоуна-Дейла хорошая: (1-K_p/K_c) = 0.004 («superior»).

РЕНТГЕНОГРАФИЧЕСКИЕ ДАННЫЕ И КРИСТАЛЛИЧЕСКАЯ СТРУКТУРА

Рентгенограмма порошка хиллесхаймита (табл. 3) получена методом Гандольфи с помощью монокристального дифрактометра Stoe IPDS II с плоским детектором захвата сигнала (image plate detector), на Mo_{Kα}-излучении, при ускоряющем напряжении 45 кВ и токе 30 мА. Съемка проводилась с вращением образца по двум осям (ω и φ), расстояние образец—детектор 200 мм, время экспозиции 60 мин.

Порошковая хиллесхаймита хорошо индицируется в ромбической ячейке с уточненными по МНК параметрами: a = 6.967(7), b = 6.523(7), c = 37.17(4) Å; V = 1690(6) Å³.

Монокристальные рентгенодифракционные данные получены на дифрактометре XcaliburS CCD с использованием Mo_{Kα}-излучения. Структура хиллесхаймита определена независимо на основе прямых методов и уточнена до R = 0.1706 для 844 незави-

Таблица 3

Порошковые рентгенографические данные для хиллесхаймита
X-ray powder diffraction data for hillesheimite

$I_{\text{изм}} \%$	$d_{\text{изм}} \text{\AA}$	$I_{\text{выч}} \%$	$d_{\text{выч}} \text{\AA}$	hkl
24	9.31	17	9.295	040
58	6.857	88	6.859	110
100	6.545	99	6.530	001
53	6.284	57, 100	6.431, 6.197	011, 060
8	5.822	18	5.777	031
22	5.105	40	5.089	150
96	4.787	81	4.768	101
59	4.499	38	4.495	061
9	4.449	2	4.450	131
12	4.221	9	4.227	170
45	4.031	28	4.014	151
22	3.776	7, 7, 5	3.786, 3.779, 3.718	081, 161, 0.10.0
16	3.569	7, 3	3.555, 3.548	190, 171
7	3.497	7	3.490	200
5	3.429	2	3.422	220
2	3.346	3	3.328	181
34	3.244	26, 47	3.252, 3.231	012, 0.10.1
86	3.065	95, 18, 23	3.067, 3.042, 3.041	211, 1.11.0, 260
62	2.958	4, 40	2.957, 2.948	102, 112
44	2.850	82	2.844	251
62	2.767	74, 46	2.758, 2.756	1.11.1, 261
19	2.679	18	2.669	162
8	2.525	9	2.544	2.10.0
8	2.328	2, 1, 2	2.336, 2.322, 2.320	1.15.0, 310, 1.14.1
15	2.192	6, 5	2.191, 2.189	301, 0.16.1
13	2.083	3, 4, 3	2.089, 2.078, 2.075	053, 103, 113
4	1.983	1	2.007	2.10.2
14	1.937	13	1.948	2.11.2
11	1.851	2, 3, 12, 1	1.859, 1.856, 1.847, 1.844	0.20.0, 342, 203, 213
9	1.818	1, 6	1.814, 1.812	1.10.3, 362
9	1.740	17	1.745	400
10	1.696	2, 7, 2	1.696, 1.690, 1.688	3.15.0, 0.22.0, 3.10.2
6	1.648	3, 1	1.653, 1.642	3.11.2, 3.15.1
6	1.596	1, 2, 1	1.594, 1.593, 1.593	3.16.1, 3.17.0, 1.22.1
4	1.553	1	1.554	154
4	1.516	1, 2	1.590, 1.519	4.12.0, 1.21.2
4	1.504	4, 1	1.508, 1.507	4.11.1, 452
3	1.365	4, 1, 7	1.374, 1.365, 1.355	2.10.4, 501, 2.11.1

Примечание. Для вычисленной порошкограммы приведены отражения с интенсивностями ≥ 1 . $d_{\text{выч}}$ рассчитано из монокристаллических данных.

симых отражений с $I > 2\sigma$ (I) с использованием комплекса программ Shelx (Sheldrick, 1997а, б). Основные кристаллографические характеристики хиллесхаймита и данные монокристалльного эксперимента приведены в табл. 4. К сожалению, низкое качество кристаллов хиллесхаймита (их сильная расщепленность и трещиноватость) не позволили получить высококачественных экспериментальных монокристалльных данных и соответственно низкого значения фактора расходности для этого минерала, поэтому на данный момент можно говорить лишь о структурной модели для хиллесхаймита. В то же время структурная модель представляется корректной, что подтверждается хорошей сходимостью экспериментальной и теоретической порошкограмм, расчетной и измеренной плотностей и структурных данных с химическим составом

Основные кристаллолографические характеристики
Principal crystallographic characteristics

Характеристика	Хиллесхаймит (K,Ca,Ba, (Mg,Fe,Ca) [(Si,Al) ₁₃ O ₂₃ ((OH)·8H ₂ O)	
	Значение	Единица измерения
Формульный вес	2183.55	
Температура, К	293 (2)	
Симметрия, пр. гр.	Ромбическая	
Параметры ячейки, Å	$a = 6.979 (11)$ $b = 37.1815 (1)$ $c = 6.5296 (15)$	
$V, \text{\AA}^3$	1694 (3)	
Z	2	
$\rho, \text{г}/\text{см}^3$	2.140	
$\mu, \text{мм}^{-1}$	1.140	
$F(000)$	1081	
Размеры кристалла, мм	$0.05 \times 0.15 \times 0.05$	
Координаты атомов в структуре		
Atom coordinates and parameters		
Позиция	x/a	y/a
K	0.25	
Mg	0.25	
$T(1)$	0.25	
$T(2)$	0.25	
$T(3)$	0.25	
$T(4)$	0.25	
$T(5)$	-0.02960	
$T(6)$	-0.02080	
$O(1)$	0.05930	
$O(2)$	0.05170	
$O(3)$	0.25	
$O(4)$	0.25	
$O(5)$	-0.00700	
$O(6)$	0.25	
$O(7)$	0.06300	
$O(8)$	0.75	
$O(9)$	0.06170	
$O(10)$	0.25	
$O(11)$	-0.75	
$O(12)$	0.25	
$O(13)$	0.25	
$O(14)$	0.00100	
$O(15)$	0.25	

Примечание. Для 15 из 16 атомов определены уточненные значения электронной плотности. Атом Mg имеет уточненное значение электронной плотности 10.08 ерфу для позиции Mg , дополнительными катионами Ca и K .

Таблица 3

Хиллесхаймита
hillesheimite

<i>hkl</i>
040
110
001
011, 060
031
150
101
061
131
170
151
081, 161, 0.10.0
190, 171
200
220
181
012, 0.10.1
211, 1.11.0, 260
102, 112
251
1.11.1, 261
162
2.10.0
1.15.0, 310, 1.14.1
301, 0.16.1
053, 103, 113
2.10.2
2.11.2
0.20.0, 342, 203, 213
1.10.3, 362
400
3.15.0, 0.22.0, 3.10.2
3.11.2, 3.15.1
3.16.1, 3.17.0, 1.22.1
154
4.12.0, 1.21.2
4.11.1, 452
2.10.4, 501, 2.11.1

с интенсивностями ≥ 1 . $d_{\text{выв}}$ рассчитано

на программе Shelx (Sheldrick, 2008). Химический состав и характеристики хиллесхаймита и данные по монокристаллу не подтверждены. Сожалению, низкое качество изображения (из-за трещиноватости) не позволяет получить монокристалльные данные для этого минерала, поэтому для него предложена структурная модель для хиллесхаймита на основе корректной, что подтверждается порошковыми спектрами, химического состава

Таблица 4

Основные кристаллографические характеристики хиллесхаймита
и данные монокристального эксперимента

Principal crystallographic characteristics of hillesheimite and data of the monocrystal experiment

Характеристика	Хиллесхаймит (K,Ca,Ba, \square) ₂ · (Mg,Fe,Ca, \square) ₂ · [(Si,Al) ₁₃ O ₂₃ (OH,O) ₆] · (OH) · 8H ₂ O	Характеристика	Хиллесхаймит (K,Ca,Ba, \square) ₂ · (Mg,Fe,Ca, \square) ₂ · [(Si,Al) ₁₃ O ₂₃ (OH,O) ₆] · (OH) · 8H ₂ O
Формульный вес	2183.55	Дифрактометр	Xcalibur S CCD, MoK_{α} , $\lambda = 0.71073$
Температура, К	293 (2)	Интервалы сканирования	$-8 \leq h \leq 8$, $-45 \leq k \leq 46$, $-8 \leq l \leq 8$
Симметрия, пр. гр.	Ромбическая, $Pmnn$		
Параметры ячейки, Å	$a = 6.979 (11)$ $b = 37.1815 (18)$ $c = 6.5296 (15)$	Общее число рефлексов	26827
<i>V</i> , Å ³	1694 (3)	Число независимых рефлексов	1856
<i>Z</i>	2	Независимые рефлексы [$I > 2\sigma(I)$]	844
ρ , г/см ³	2.140	Число уточняемых параметров	154
μ , мм ⁻¹	1.140	$R(F)[I > 2\sigma(I)]/wR(F^2)[I > 2\sigma(I)]$	0.1706
<i>F</i> (000)	1081	GoF	1.405
Размеры кристалла, мм	0.05 × 0.15 × 0.30	$\Delta\rho_{\text{max}}/\Delta\rho_{\text{min}}$, з/Å ³	1.795/−0.658

Таблица 5

Координаты атомов и кратности позиций (Q)
в структурной модели хиллесхаймита

Atom coordinates and multiplicities (Q) for the structure model of hillesheimite

Позиция	<i>x/a</i>	<i>y/b</i>	<i>z/c</i>	<i>Q</i>
<i>K</i>	0.25	0.34231(10)	0.0940(8)	4
<i>Mg</i>	0.25	0.5032(2)	−0.9764(12)	4
<i>T</i> (1)	0.25	0.75	0.4146(8)	2
<i>T</i> (2)	0.25	0.69929(14)	0.0427(8)	4
<i>T</i> (3)	0.25	0.56273(19)	−0.5809(9)	4
<i>T</i> (4)	0.25	0.61354(15)	0.0339(9)	4
<i>T</i> (5)	−0.0296(7)	0.56714(17)	−0.2203(8)	8
<i>T</i> (6)	−0.0208(6)	0.75	0.7929(7)	4
<i>O</i> (1)	0.0593(16)	0.7142(3)	0.9164(14)	8
<i>O</i> (2)	0.0517(15)	0.6013(3)	−0.0927(19)	8
<i>O</i> (3)	0.25	0.5244(4)	−0.696(20)	4
<i>O</i> (4)	0.25	0.5977(4)	−0.725(2)	4
<i>O</i> (5)	−0.007(2)	0.5286(4)	−0.111(2)	8
<i>O</i> (6)	0.25	0.6563(2)	0.057(3)	4
<i>O</i> (7)	0.0630(17)	0.75	0.5510(17)	4
<i>O</i> (8)	0.75	0.75	0.801(3)	2
<i>O</i> (9)	0.0617(15)	0.5640(6)	−0.4424(15)	8
<i>O</i> (10)	0.25	0.7154(4)	0.2709(18)	4
<i>O</i> (11)	0.75	0.5779(5)	−0.262(3)	4
<i>O</i> (12)	0.25	0.2919(13)	−0.292(4)	4
<i>O</i> (13)	0.25	0.3866(8)	−0.266(4)	4
<i>O</i> (14)	0.001(4)	0.6564(4)	0.551(30)	8
<i>O</i> (15)	0.25	0.4745(7)	−0.269(3)	4

Примечание. Для позиций *K* и *Mg* предложены следующие наполнения; с учетом уточненных значений электронного содержания позиций (e_{ref}) (20.33 ерфу для позиции *K* и 10.08 ерфу для позиции *Mg*), координационных полигонов и межатомных расстояний. *K* — К с дополнительными катионами Ca, Ba, Na, вакансиями и, возможно, H₃O; *Mg* — Mg с дополнительными катионами Fe, Ca и вакансиями.

Таблица 6

Межатомные расстояния в структурной модели хиллесхаймита

Interatomic distances in the structure model of hillesheimite

$K-O(13)$	2.87(3)	$Mg-O(3)$	1.994(10)
$-O(14)$	$2.91(2) \times 2$	$-O(5)$	$2.143(16) \times 2$
$-O(2)$	$2.972(13) \times 2$	$-O(15)$	2.19(2)
$-O(1)$	$3.012(10) \times 2$	$-O(5)$	$2.210(14) \times 2$
$-O(12)$	3.14(4)	$\langle Mg-O \rangle$	2.15
$-O(11)$	3.164(8)	$T(4)-O(6)$	1.598(8)
$\langle K-O \rangle$	3.00	$-O(4)$	1.679(14)
$T(1)-O(7)$	$1.580(12) \times 2$	$-O(2)$	$1.675(11) \times 2$
$-O(10)$	$1.594(13) \times 2$	$\langle T(4)-O \rangle$	1.66
$\langle T(1)-O \rangle$	1.59	$T(5)-O(9)$	1.588(7)
$T(2)-O(10)$	1.605(13)	$-O(5)$	1.610(13)
$-O(6)$	1.600(8)	$-O(11)$	1.613(8)
$-O(1)$	$1.661(12) \times 2$	$-O(2)$	1.621(12)
$\langle T(2)-O \rangle$	1.63	$\langle T(5)-O \rangle$	1.61
$T(3)-O(4)$	1.607(9)	$T(6)-O(8)$	1.601(5)
$-O(9)$	$1.596(8) \times 2$	$-O(1)$	$1.655(12) \times 2$
$-O(3)$	1.611(9)	$-O(7)$	1.684(12)
$\langle T(3)-O \rangle$	1.60	$\langle T(6)-O \rangle$	1.65

хиллесхаймита. Основные кристаллографические характеристики хиллесхаймита и данные монокристального эксперимента представлены в табл. 4. Координаты атомов и параметры их тепловых смещений приведены в табл. 5, межатомные расстояния — в табл. 6.

Хиллесхаймит является представителем нового структурного типа. Основной структурной единицей у него, как и у других представителей группы гюнтерблассита (табл. 1), являются блоки, состоящие из трех тетраэдрических слоев, сформированных чередующимися четырех- и восьмичленными кольцами T -тетраэдров ($T = Si, Al$) (рис. 3). Внешние слои блока [T_4O_{10}] топологически идентичны слоям в структурах шлыковита и криптофиллита, слоистых силикатов семейства маунтинита (Zubkova et al., 2009, 2010). Каждый внешний слой близок к половине двухслойного тетраэдрического пакета в структурах представителей родезитовой меро-плезиотипной серии (Cadoni, Ferraris, 2009). Внутренний слой блока в хиллесхаймите содержит дополнительный тетраэдр и имеет состав $[(Si, Al)_5O_{11}]$. Размеры тетраэдров в трехслойном блоке (табл. 6) позволяют предположить вхождение дополнительных катионов Fe^{3+} и Al в позицию $T(6)$ и Al в позицию $T(4)$. Аналогично гюнтербласситу в структуре хиллесхаймита висячие вершины T -тетраэдров внешних слоев заняты статистически замещающими друг друга атомами O и OH -группами.

В структуре хиллесхаймита (рис. 4) трехслойные тетраэдрические блоки связаны между собой колонками из реберно-соединенных октаэдров, характеризующихся частичной заселенностью и заполненными катионами Mg с примесями Fe и, возможно, Ca . Свободные вершины октаэдров [позиция $O(15)$ в табл. 5] в основном заняты OH -группами. Молекулы воды [позиции $O(12)$, $O(13)$ и $O(14)$ в табл. 5] входят в координационный полигидрат позиции, заполнен-

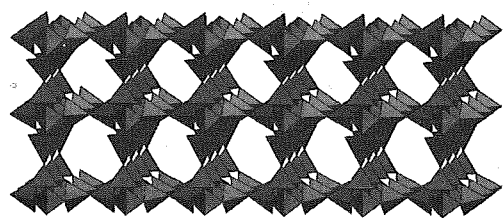


Рис. 3. Трехслойный тетраэдрический блок в структурах минералов группы гюнтерблассита.

Fig. 3. Triple-layered tetrahedral block in structures of günterblassite-group minerals.

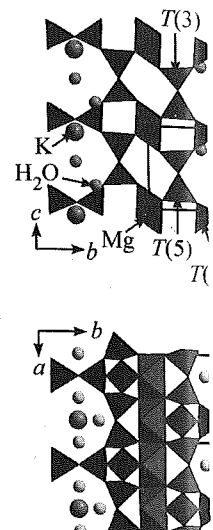


Рис. 4. Кристаллическая структура хиллесхаймита.

Fig. 4. Crystal structure of hillesheimite.

ной статистически замещающей группой — присутствие катиона оксония (H_2O) (полоса при 1800 cm^{-1}). Образование колоний октаэдров по схеме S-образной формы — результат уточнения электронной структуры согласно данным по химическому составу. Вхождение катионов Ca как примеси в позицию $T(4)$ — включение Ca в октаэдрические позиции в соответствии с химическим составом в октаэдрических пакетах. Группы гюнтерблассита — узлы в структуре хиллесхаймита и родезитового пакета в структурах семейства маунтинита и родезита. В хиллесхаймите среднее расстояние между катионами Fe^{3+} и Al (450 cm^{-1}) указывают на то, что в пакете занятая в основном Mg . Таким образом, в структуре хиллесхаймита может быть представлена формула $(OH, O)_6(OH, H_2O) \cdot 8H_2O$.

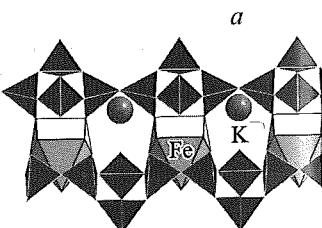


Рис. 5. Фрагмент, связывающий три слоя тетраэдрического блока.

Fig. 5. The fragment linking triple-layered tetrahedral block.

Таблица 6

или хиллесхаймита

of hillesheimite

1.994(10)
2.143(16)×2
2.19(2)
2.210(14)×2
2.15
1.598(8)
1.679(14)
1.675(11)×2
1.66
1.588(7)
1.610(13)
1.613(8)
1.621(12)
1.61
1.601(5)
1.655(12)×2
1.684(12)
1.65

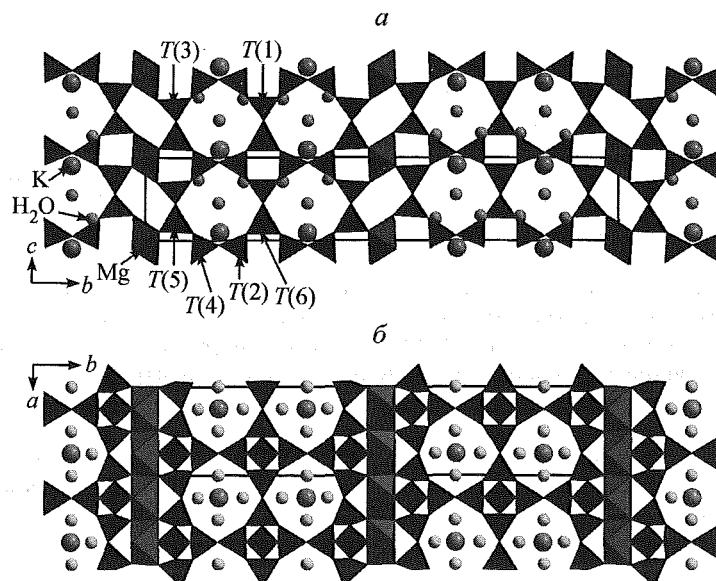
рактеристики хиллесхаймита и
ы в табл. 4. Координаты атомов
л. 5, межатомные расстояния —

структурного типа. Основной
ителей группы гюнтерблассита
тических слоев, сформирован-
льцами T -тетраэдров ($T = \text{Si}, \text{Al}$)
идентичны слоям в структурах
мейства маунтинита (Zubkova et
иине двухслойного тетраэдриче-
вой меро-плезиотипной серии
лесхаймите содержит дополни-
тетраэдров в трехслойном блоке
нительных катионов Fe^{3+} и Al в
бласситу в структуре хиллес-
хаймите заняты статистически заме-

тетраэдрические блоки связаны
эдров, характеризующихся час-
примесями Fe и, возможно, Ca .
[5] в основном заняты OH -группы.
олекулы воды [позиции $\text{O}(12)$,
 $\text{O}(14)$ в табл. 5] входят в коорди-
ный полиэдр позиции, заполнен-

ххслойный тетраэдрический блок в
х минералов группы гюнтерблассита.

ole-layered tetrahedral block in struc-
ture of günterblassite-group minerals.

Рис. 4. Кристаллическая структура хиллесхаймита в проекциях bc (а) и ab (б).Fig. 4. Crystal structure of hillesheimite in projections bc (a) and ab (b).

ной статистически замещающими друг друга катионами K , Ca , Ba и H_3O . Возможное присутствие катиона оксония предположено на основании данных ИК-спектроскопии (полоса при 1800 cm^{-1}). Образование катионов оксония возможно за счет водорода силикатных групп по схеме $\text{Si}-\text{OH}^{+6} + \text{H}_2\text{O} \leftrightarrow \text{Si}-\text{O} + \text{H}_3\text{O}^+$. Принимая во внимание результаты уточнения электронного содержания позиций крупных катионов, а также согласно данным по химическому составу хиллесхаймита, можно предположить вхождение катионов Ca как в K -позицию, так и в октаэдрическую Mg -доминантную позицию. Вхождение Ca в октаэдрическую позицию также подтверждается его присутствием в октаэдрических позициях в структурах еще одного нового представителя группы гюнтерблассита — умбрианита (Sharygin et al., в печати), а также членов семейства маунтинита и родезитовой меро-плезиотипной серии. В то же время в хиллесхаймите среднее расстояние катион—анион в октаэдре (2.15 \AA) и относительно высокое значение волнового числа полосы валентных колебаний октаэдров в ИК-спектре (450 cm^{-1}) указывают на то, что октаэдрическая позиция в структуре этого минерала занята в основном Mg . Таким образом, кристаллохимическая формула хиллесхаймита может быть представлена в виде: $(\text{K}, \text{Ca}, \text{Ba}, \text{H}_3\text{O}, \square)_2(\text{Mg}, \text{Fe}, \text{Ca}, \square)_2[(\text{Si}, \text{Al}, \text{Fe})_{13}\text{O}_{23} \cdot (\text{OH}, \text{O})_6](\text{OH}, \text{H}_2\text{O}) \cdot 8\text{H}_2\text{O}$.

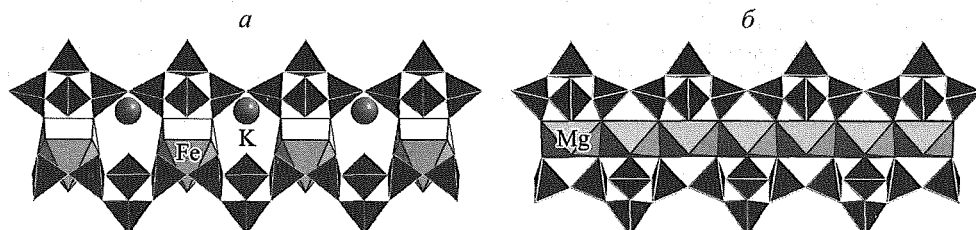


Рис. 5. Фрагмент, связывающий трехслойные тетраэдрические блоки в структурах гюнтерблассита (Чуканов и др., 2012) (а) и хиллесхаймита (б).

Fig. 5. The fragment linking triple-layered tetrahedral blocks in structures of günterblassite (Chukanov et al., 2012) (a) and hillesheimite (b).

ОБСУЖДЕНИЕ

В структуре гюнтерблассита трехслойные пакеты связаны между собой семивершинниками, заполненными катионами Fe, Mg и Ca (Чуканов и др., 2012), а в хиллесхаймите тетраэдрические блоки связаны между собой колонками из реберно-связанных октаэдров, характеризующихся частичной заселенностью и заполненных катионами Mg с примесями Fe и, возможно, Ca. Различное строение фрагментов, связывающих тетраэдрические блоки в структурах гюнтерблассита и хиллесхаймита, показано на рис. 5. По-видимому, именно это различие приводит к более низкой симметрии гюнтерблассита ($Pm2_1n$) по сравнению с хиллесхаймитом ($Pmmn$).

Как следует из структурных данных, хиллесхаймит отличается от гюнтерблассита и более высоким содержанием H_2O . Этот вывод подтверждается тем фактом, что полосы, относящиеся к колебаниям молекул H_2O в ИК-спектре хиллесхаймита более интенсивные, чем аналогичные полосы в спектре гюнтерблассита (Чуканов и др., 2012).

Хиллесхаймит, гюнтерблассит и умбрианит (табл. 1) являются представителями нового топологического типа алюмосиликатов, структуры которых содержат трехслойный тетраэдрический пакет. Эта группа минералов наряду с их двухслойными и однослойными аналогами намечает специфические полисоматические ряды, связывающие слоистые силикаты и алюмосиликаты с каркасными. Гипотетическими «конечными членами» этих рядов являются силикаты с каркасами цеолитного типа.

По аналогии с гюнтербласситом (Чуканов и др., 2012) и трансформационным эволюционным рядом дельхайелит—фивегит—гидродельхайелит (Пеков и др., 2010), а также принимая во внимание особенности кристаллической структуры хиллесхаймита (неупорядоченность распределения крупных катионов, существенную вакансийность их позиций, высокое содержание воды и бария), можно предположить, что хиллесхаймит является трансформационным минеральным видом, образовавшимся в результате гидратации и выщелачивания значительной части щелочных катионов, кальция и, возможно, галогенов из гипотетического первичного безводного катиона-насыщенного минерала типа умбрианита с сохранением исходного трехслойного алюмосиликатного пакета.

Работа выполнена при поддержке Российского фонда фундаментальных исследований (проекты 11-05-12001-офи-м-2011, 11-05-00407-а и 11-05-91331-ННИО_а).

Список литературы

- Пеков И. В., Зубкова Н. В., Чуканов Н. В., Задов А. Е., Пущаровский Д. Ю. Фивегит $K_4Ca_2[AlSi_7O_{17}(O_{2-x}OH_x)][(H_2O)_{2-x}OH_x]Cl$ — новый минерал из Хибинского щелочного массива (Кольский полуостров, Россия) // ЗРМО. 2010. Т. 139. С. 47—62.
- Расцветаева Р. К., Аксенов С. М., Чуканов Н. В. Кристаллическая структура гюнтерблассита — нового минерала с микропористым гетерополизидрическим каркасом на основе трехслойного пакета $[Si_{13}O_{29}]$ // Докл. РАН. 2012. Т. 442. № 6. С. 766—770.
- Чуканов Н. В., Расцветаева Р. К., Аксенов С. М., Пеков И. В., Бритвин С. Н., Белаковский Д. И., Шюллер В., Тернес Б. Гюнтерблассит $(K,Ca)_{3-x}Fe[(Si,Al)_{13}O_{25}(OH,O)_4] \cdot 7H_2O$ — новый минерал, первый филосиликат с тройным тетраэдрическим слоем // ЗРМО. 2012. № 1. С. 71—79.
- Cadoni M., Ferraris G. Two new members of the rhodesite mero-plesiotype series close to delhayelite and hydrodelhayelite: synthesis and crystal structure // Eur. J. Miner. 2009. Vol. 21. P. 485—493.
- Ferraris G., Gula A. Polysomatic aspects of microporous minerals — heterophyllosilicates, palysepiolites and rhodesite-related structures // Rev. Miner. Geochem. 2005. Vol. 57. P. 69—104.
- Hesse K.-F., Liebau F., Merlino S. Crystal structure of rhodesite, $HK_{1-x}Na_x + 2yCa_{2-y}\{1B,3,2\}_{\infty}[Si_8O_{19}] \cdot (6-z)H_2O$, from three localities and its relation to other silicates with dreier double layers // Z. Krist. 1992. Vol. 199. P. 25—48.
- Pekov I. V., Zubkova N. V., Chukanov N. V., Turchkova A. G., Filinchuk Ya. E., Pushcharovsky D. Yu. Delhayelite and mountainite mineral families: crystal chemical relationship, microporous character and genetic features / Minerals as Advanced Materials II (ed. S. V. Krivovichev). Berlin: Springer Verlag, 2011. P. 213—219.

Sharygin V. V., Pekov I. V., Zubkova N. V., Ca₂[Al₃Si₁₀O_{29}]F₂Cl₂, a new mineral from Italy // Canad. Miner., в печати.}

Sheldrick G. M. SHELXS-97, a program for the solution of crystal structures from X-ray and neutron diffraction data // Acta Cryst. 1997a, Germany.

Sheldrick G. M. SHELXL-97, a program for the refinement of crystal structures // Acta Cryst. 1997b, Germany.

Zubkova N. V., Pekov I. V., Pushcharovsky D. Yu. Mountainite, $KNa_2Ca_2[Si_8O_{19}]$, a new mineral from Russia // Mineralogical Magazine. 2010. Vol. 84(4).

Zubkova N. V., Filinchuk Ya. E., Pushcharovsky D. Yu. Shlykovite and cryptophyllite: comparison of their crystal structures // Eur. J. Miner. 2010. Vol. 22(4).

УДК 549.6 (470.54)

© Д. чл. И. В. ПЕКОВ
А. Е. ЗАДОВ, *****, Н. В. ЧУКАНОВ,
П. КАДЕН, *****

КАСАТКИНИТ Va_2Ca_2 ИЗ БАЖЕНОВСКОГО ПОЛУОСТРОВА

* Московский гос.
119991 Москва

** Институт проблем химии
*** Institute of Condensed Matter Physics
Place Louis Pasteur 7, Lviv, Ukraine

**** НПП «ТехноПромСервис»
***** Институт геохимии
***** 456574, Челябинск

***** Karlsruhe Institute of Technology

Hermann-von-Helmholtz-Park 47, 76345 Karlsruhe, Germany

***** Karlsruhe Institute of Technology

Hermann-von-Helmholtz-Park 47, 76345 Karlsruhe, Germany

Новый минерал касаткинит был обнаружен в Баженовском месторождении хризотиля. Химический состав минерала определен методом ИК-спектроскопии: $Na_{0.11}K_{0.18}Ba_{1.66}Ca_{7.84}B_{5.05}Al_{0.08}Si_{8.0}$. Параметры кристаллов: $a = 5.745(3)$, $b = 7.238(2)$, $c = 20.7$. Новый минерал назван в честь российского минералога-любителя В. В. Касаткина. Этalonный образец передан в ГИМ.

Ключевые слова: касаткинит, Баженовское месторождение хризотиля, ИК-спектроскопия, химический состав, параметры кристаллов.

I. V. PEKOV, N. V. CHUKANOV,
S. G. EPANCHINTSEV,
 $Ba_2Ca_8B_5Si_8O_{32}(OH)_3 \cdot 6H_2O$

The new mineral kasatkinit, chrysotile asbestos deposit, the Mid-Volga region, Russia. The chemical composition was determined by IR-spectroscopy: $Na_{0.11}K_{0.18}Ba_{1.66}Ca_{7.84}B_{5.05}Al_{0.08}Si_{8.0}$. The parameters of crystals: $a = 5.745(3)$, $b = 7.238(2)$, $c = 20.7$.

1 Новый минерал касаткинит назван в честь российского минералога-любителя В. В. Касаткина. Комиссией по новым минералам ИМА №. 2011-045.

изаны между собой семивер-
танов и др., 2012), а в хиллес-
колонками из реберно-свя-
зенностью и заполненных ка-
чное строение фрагментов,
терблассита и хиллесхаймита,
приводит к более низкой сим-
хаймитом (*Pmmn*).
отличается от гюнтербласси-
тверждается тем фактом, что
пектре хиллесхаймита более
терблассита (Чуканов и др.,

) являются представителями
групп которых содержат трех-
наряду с их двухслойными и
соматические ряды, связыва-
ции. Гипотетическими «конеч-
ами цеолитного типа.

) и трансформационным эво-
лейлит (Пеков и др., 2010), а
как структуры хиллесхайми-
т, существенную вакансию
ожно предположить, что хил-
видом, образовавшимся в ре-
части щелочных катионов,
первичного безводного кати-
ием исходного трехслойного

а фундаментальных исследо-
и 11-05-91331-ННИО_a).

Пущаровский Д. Ю. Фивегит
бинского щелочного массива (Ко-
ская структура гюнтерблассита —
ом на основе трехслойного пакета

Бритвин С. Н., Белаковский Д. И.,
 $\text{O}_4]$ · 7H₂O — новый минерал, пер-
2. № 1. С. 71—79.
siotype series close to delhayelite and
Vol. 21. P. 485—493.
— heterophyllosilicates, palysepioles
P. 69—104.

$_{1-x}^{x-} \text{Na}_{x+2y} \text{Ca}_{2-y} \{1B, 3, 2\}^2 \{[\text{Si}_8\text{O}_{19}]\}$ ·
freier double layers // Z. Krist. 1992.

inchuk Ya.E., Pushcharovsky D. Yu.
hip, microporous character and gene-
ev). Berlin: Springer Verlag, 2011.

Sharygin V. V., Pekov I. V., Zubkova N. V., Khomyakov A. P., Stoppa F., Pushcharovsky D. Yu. Umbriante, K₇Na₂Ca₂[Al₃Si₁₀O₂₉]F₂Cl₂, a new mineral species from melilitolite of the Pian di Celle volcano, Umbria, Italy // Canad. Miner., в печати.

Sheldrick G. M. SHELXS-97, a program for the solution of crystal structures. University of Gottingen, 1997a, Germany.

Sheldrick G. M. SHELXL-97, a program for crystal structure refinement. University of Gottingen, 1997b, Germany.

Zubkova N. V., Pekov I. V., Pushcharovsky D. Yu., Chukanov N. V. The crystal structure and refined formula of mountainite, KN₄Ca₂[Si₈O₁₉(OH)] · 6H₂O // Zs. Krist. 2009. Vol. 224. P. 389—396.

Zubkova N. V., Filinchuk Ya. E., Pekov I. V., Pushcharovsky D. Yu., Gobechiya E. R. Crystal structures of shlykovite and cryptophyllite: comparative crystal chemistry of phyllosilicate minerals of the mountainite family // Eur. J. Miner. 2010. Vol. 22(4). P. 547—555.

Поступила в редакцию
7 декабря 2011 г.

УДК 549.6 (470.54)

ЗРМО, № 3, 2012 г.
Zapiski RMO, N 3, 2012

© Д. чл. И. В. ПЕКОВ, * д. чл. Н. В. ЧУКАНОВ, ** Я. Е. ФИЛИНЧУК, ***
А. Е. ЗАДОВ, **** Н. Н. КОНОНКОВА, ***** С. Г. ЕПАНЧИНЦЕВ *****
П. КАДЕН, ***** А. КУТЦЕР, ***** Й. ГЁТЛЛИХЕР *****

КАСАТКИНИТ Ba₂Ca₈B₅Si₈O₃₂(OH)₃ · 6H₂O — НОВЫЙ МИНЕРАЛ ИЗ БАЖЕНОВСКОГО МЕСТОРОЖДЕНИЯ (СРЕДНИЙ УРАЛ, РОССИЯ)¹

* Московский государственный университет, Геологический ф-т,
119991 Москва, Воробьевы горы; e-mail: igorpekov@mail.ru

** Институт проблем химической физики РАН, 142432, Московская обл., г. Черноголовка
*** Institute of Condensed Matter and Nanosciences, Universite Catholique de Louvain,
Place Louis Pasteur, B-1348, Louvain-la-Neuve, Belgium

**** НПП «Теплохим», 127238 Москва, Дмитровское шоссе, 71

***** Институт геохимии и аналитической химии, 117975, Москва, ул. Косыгина, 19
***** 456574, Челябинская обл., с. Еманжелинка, ул. Фабричная 6-2

***** Karlsruhe Institute of Technology, Institute for Nuclear Waste Disposal,
Hermann-von-Helmholtz-Platz 1, D-76344, Eggenstein-Leopoldshafen, Germany

***** Karlsruhe Institute of Technology, Institute for Synchrotron Radiation,
Hermann-von-Helmholtz-Platz 1, D-76344, Eggenstein-Leopoldshafen, Germany

Новый минерал касаткинит Ba₂Ca₈B₅Si₈O₃₂(OH)₃ · 6H₂O установлен в полостях родингитов на
Баженовском месторождении хризотил-асбеста, Средний Урал, Россия. Эмпирическая формула
Na_{0.11}K_{0.18}Ba_{1.66}Ca_{7.84}B_{5.05}Al_{0.08}Si_{8.00}O_{31.80}(OH)_{3.06}F_{0.04} · 6.10H₂O. Моноклинный, *P2*/*c*, *P2*/*c* или *Pc*,
a = 5.745(3), *b* = 7.238(2), *c* = 20.79(1) Å, β = 90.82(5)°, *V* = 864(1) Å³, *Z* = 1. Название дано в честь
российского минералога-любителя и коллекционера А. В. Касаткина (р. 1970), обнаружившего ми-
нерал. Эталонный образец передан в Минералогический музей им. А. Е. Ферсмана РАН в Москве.

Ключевые слова: касаткинит, новый минерал, боросиликат, родингит, Баженовское месторож-
дение, Урал.

I. V. PEKOV, N. V. CHUKANOV, Ya. E. FILINCHUK, A. E. ZADOV, N. N. KONONKOVA,
S. G. EPANCHINTSEV, P. KADEN, A. KUTZER, J. GÖTTLICHER. KASATKINITE,
Ba₂Ca₈B₅Si₈O₃₂(OH)₃ · 6H₂O, A NEW MINERAL FROM BAZHENOVSKOYE DEPOSIT
(THE MIDDLE URALS, RUSSIA)

The new mineral kasatkinite, Ba₂Ca₈B₅Si₈O₃₂(OH)₃ · 6H₂O, has been found at the Bazhenovskoe
chrysotile asbestos deposit, the Middle Urals, Russia. It occurs in cavities of rhodingites, in two associati-

¹ Новый минерал касаткинит и его название одобрены Комиссией по новым минералам РМО и утвер-
ждены Комиссией по новым минералам, номенклатуре и классификации минералов MMA 4 июля 2011 г.,
IMA No. 2011-045.